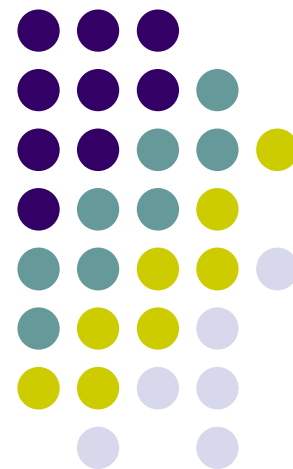
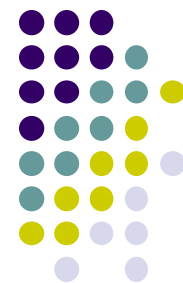


第十一章 DFT和FFT

1. DFT基础
2. DFT窗效应
3. 频谱图
4. FFT基础



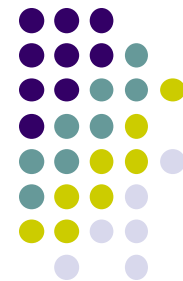


信号处理的“双子星”：DFT 与 FFT

在数字信号处理中，DFT（离散傅里叶变换）宛如一颗璀璨的启明星。它像是一把神奇的钥匙，将离散的数字信号，从时域的平凡世界，带入频域的奇幻天地。每一个数字信号，都仿佛是一首无声的乐章，而 DFT 则赋予它们旋律，让我们能洞悉信号中隐藏的频率奥秘，知晓每个音符的强弱与频率。

然而，DFT 的计算过程有时稍显繁琐。此时，FFT（快速傅里叶变换）翩然而至，它是 DFT 的高效化身。FFT 运用独特的算法，大幅缩短计算时间，让我们能更迅速地在频域中翱翔，去探索那些被时间掩埋的频率细节，成为数字世界不可或缺的瑰宝。

DFT 基础



- 计算周期数字信号频谱
傅里叶级数的系数

$$c_k = \frac{1}{N} \sum_{n=0}^{N-1} x[n] e^{-j2\pi n \frac{k}{N}}$$

非周期数字信号

$$X(\Omega) = \sum_{n=-\infty}^{\infty} x[n] e^{-jn\Omega}$$

$$\Omega \Leftrightarrow 2\pi \frac{k}{N}$$



DFT 基础

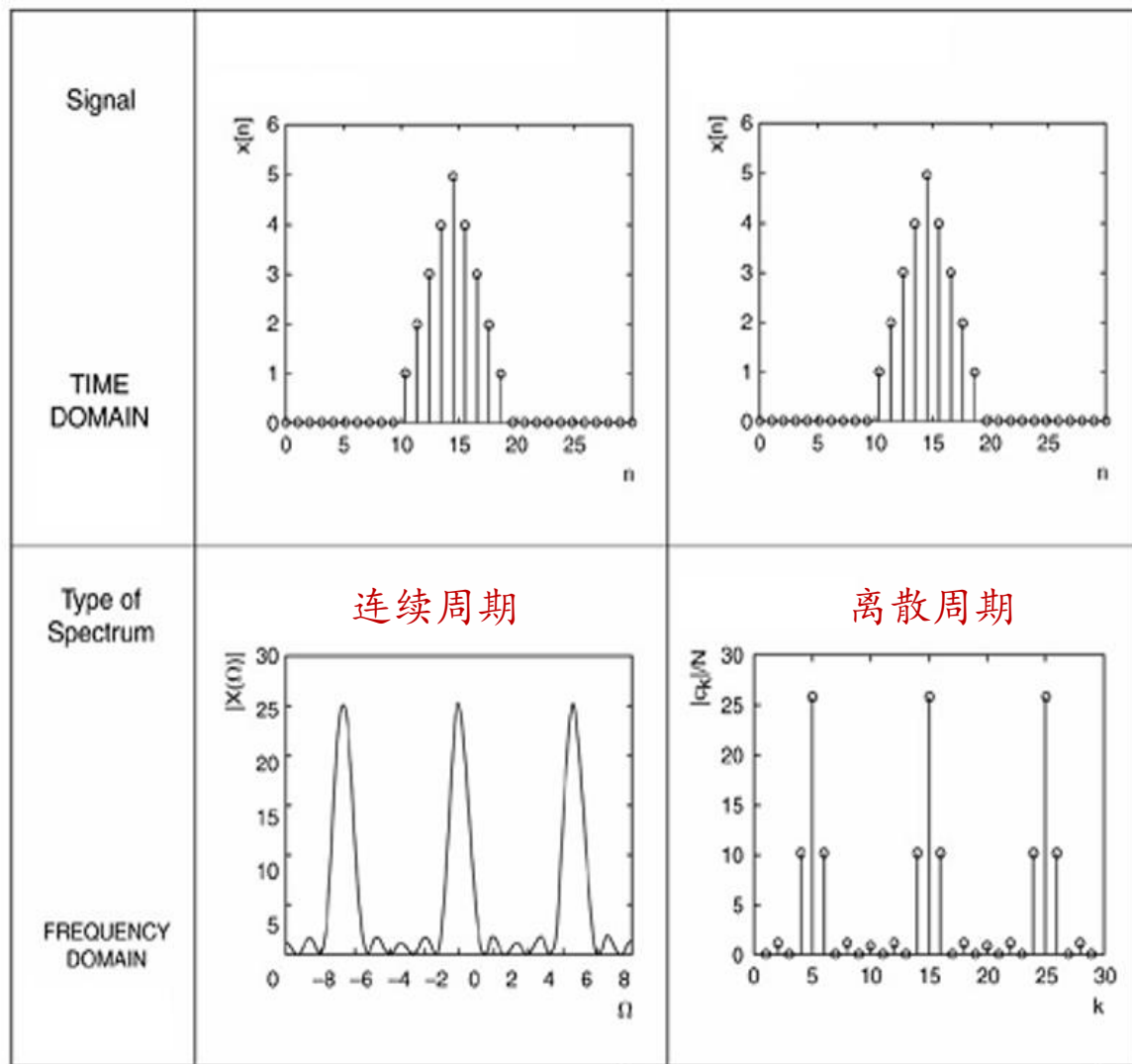
- 对数字信号 $x[n]$ 的离散傅里叶变换 DFT (Discrete Fourier Transform) 为

$$X(k) = \sum_{n=0}^{N-1} x[n] e^{-j2\pi \frac{k}{N} n}$$

$K=0, 1, 2, \dots, N-1$ N 为采样点数

计算有限个求和点

- 傅里叶变换把信号从时间域变换到频率域，进而研究信号的频谱结构和变化规律。
- DFT在时域和频域上都呈现离散的形式；
- DTFT在时域上呈现离散的形式，频域上呈现连续的形式。
 - ✓ 它将以离散时域的信号变换到连续的频域，即产生这个离散时域信号的连续频谱，值得注意的是这一频谱是周期的。



DTFT

离散时间傅里叶变换



DFT

离散傅里叶变换



DTFT

$$X(\Omega) = \sum_{n=-\infty}^{\infty} x[n]e^{-j\Omega n}$$

DFT

$$X(k) = \sum_{n=0}^{N-1} x[n]e^{-j2\pi \frac{k}{N}n}$$

$$\Omega = 2\pi k/N$$

$|X(k)|$ 可以表示如下：

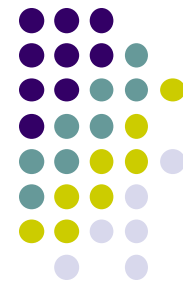
$$X(k) = |X(k)| e^{j\theta}$$

$$X(k) = X(k + N)$$

$X(k)$ 是以 N 为周期的

N 为采样点数

- $|X(k)|$ 对 k 的关系成为幅度频谱
- θ 对 k 的关系成为相位频谱



$X(k)$ 是以 N 为周期的



$$X(k+N) = \sum_{n=0}^{N-1} x[n] e^{-j2\pi \frac{k+N}{N} n}$$

$$= \sum_{n=0}^{N-1} x[n] e^{-j2\pi \frac{k}{N} n} e^{-j2\pi n}$$

$$= \sum_{n=0}^{N-1} x[n] e^{-j2\pi \frac{k}{N} n}$$

$$= X(k)$$

以采样点数 **N** 为周期

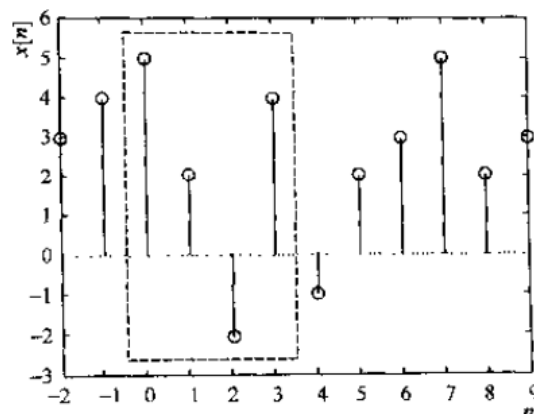
例 11.1 求图 11.2 中所选采样信号的幅度频谱和相位频谱

解:

DFT 窗选定了 4 个采样值进行分析, 即 $N=4$, 用式(11.1)的 DFT:

$$\begin{aligned} X[k] &= \sum_{n=0}^{N-1} x[n] e^{-j2\pi \frac{k}{N} n} = x[0] + x[1] e^{-j2\pi \frac{k}{4}} + x[2] e^{-j2\pi \frac{k}{4} 2} + x[3] e^{-j2\pi \frac{k}{4} 3} \\ &= 5 + 2e^{-j\frac{\pi k}{2}} - 2e^{-j\pi k} + 4e^{-j\frac{\pi k 3}{2}} \end{aligned}$$

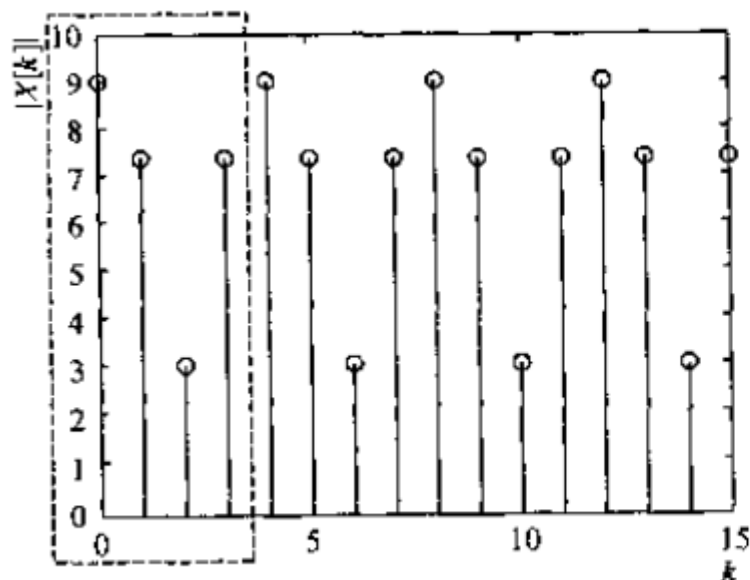
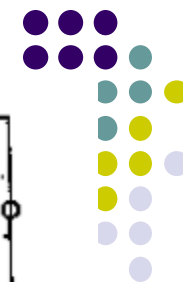
N=4, 只研究4个点



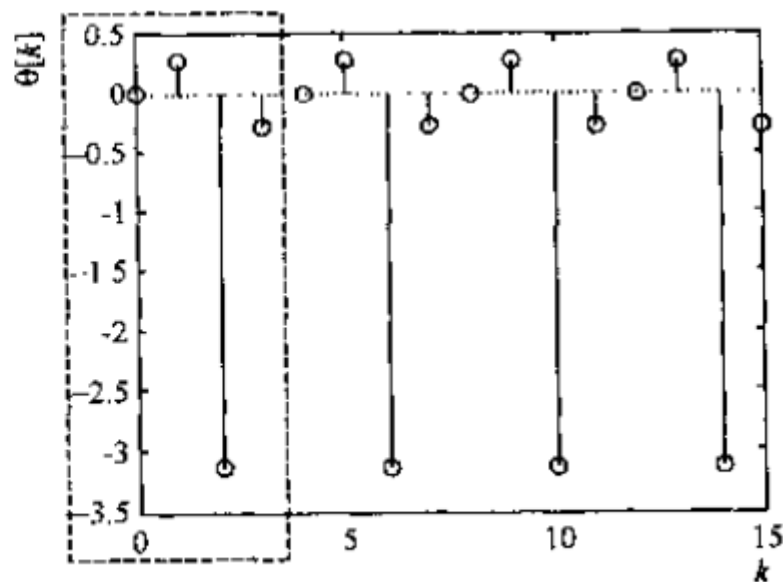
每个极坐标形式的复数 $re^{j\theta}$ 可简写成 $r \angle \theta$, 记录了此数的幅度 | 相位。 $e^{j\theta}$ 可简记为 $1 \angle \theta$, 使用这种标记法, $X[k]$ 可写成:

$$X[k] = 5 \angle 0 + 2 \angle -\frac{\pi k}{2} - 2 \angle -\pi k + 4 \angle -\frac{\pi k 3}{2}$$

角度为弧度。



(a) DFT 幅度频谱

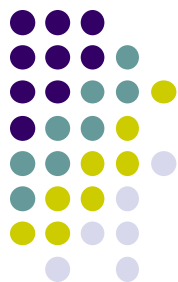


(b) DFT 相位频谱

$X(k)$ 是以 N 为周期的

这里 $N = 4$

以 4 个样点 为周期



例 11.2 用 DTFT 和 DFT 求图 11.5 所示信号的幅度频谱。

解：

DTFT 是：

$$X(\Omega) = \sum_{n=-\infty}^{\infty} x[n]e^{-jn\Omega} = 2 - e^{-j\Omega} + 3e^{-j2\Omega} + 3e^{-j3\Omega}$$

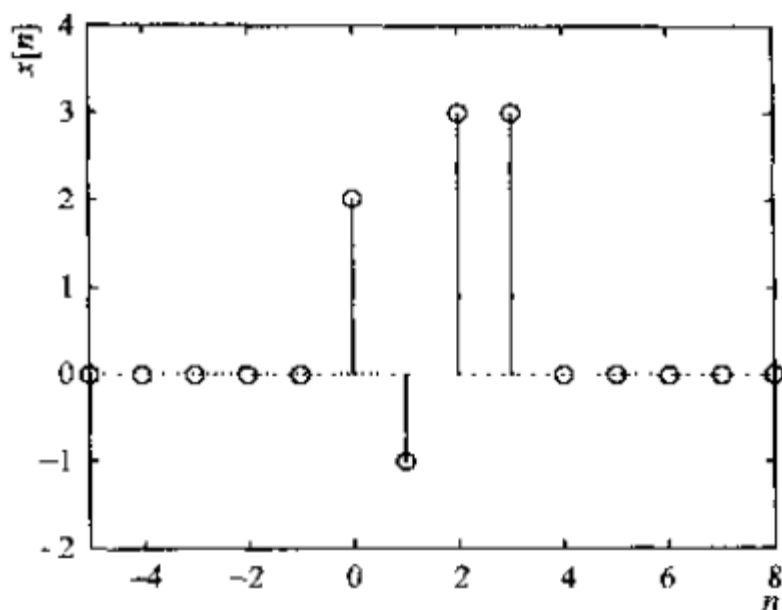


图 11.5 例 11.2 的信号



对图 11.5 中 4 个非零采样值, $N=4$ 点 DFT 可由下式计算:

$$\begin{aligned} X[k] &= \sum_{n=0}^{N-1} x[n] e^{-j2\pi \frac{k}{N} n} = 2 - e^{-j2\pi \frac{k}{4}} + 3e^{-j2\pi \frac{k}{4}} + 3e^{-j2\pi \frac{k}{4} 3} \\ &= 2 - e^{-j\frac{\pi k}{2}} + 3e^{-j\pi k} + 3e^{-j\frac{3\pi k}{2}} \end{aligned}$$

对比分析一下

$$\begin{aligned} &\Uparrow \\ X(\Omega) &= \sum_{n=-\infty}^{\infty} x[n] e^{-j\Omega n} = 2 - e^{-j\Omega} + 3e^{-j2\Omega} + 3e^{-j3\Omega} \end{aligned}$$

$$\Omega = 2\pi \frac{k}{N}$$

$$k = \frac{\Omega N}{2\pi}$$

$$\Omega = -2\pi \Rightarrow k = \frac{\Omega N}{2\pi} = \frac{-2\pi N}{2\pi} = -N = -4$$

$$N = 4$$

$$\Omega = 4\pi \Rightarrow k = \frac{\Omega N}{2\pi} = \frac{4\pi N}{2\pi} = 2N = 8$$

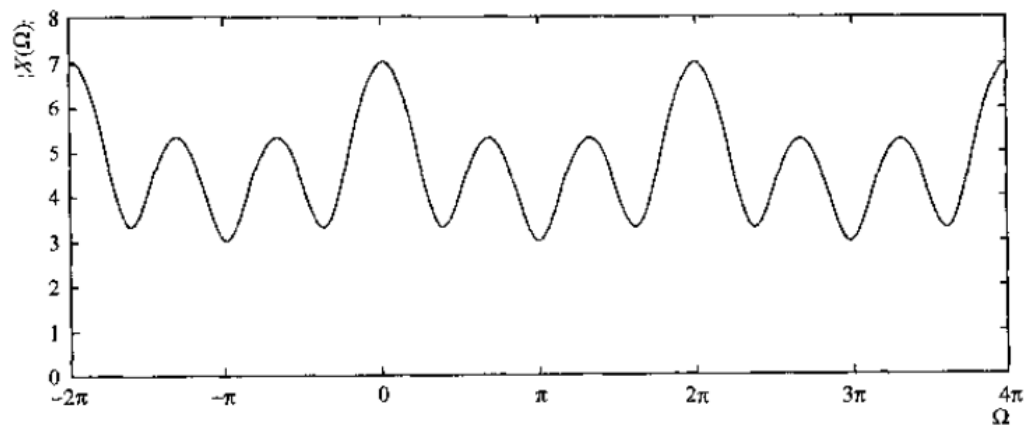


图 11.6 例 11.2 的 DTFT 幅度频谱

$$\Omega = -2\pi \rightarrow 4\pi$$

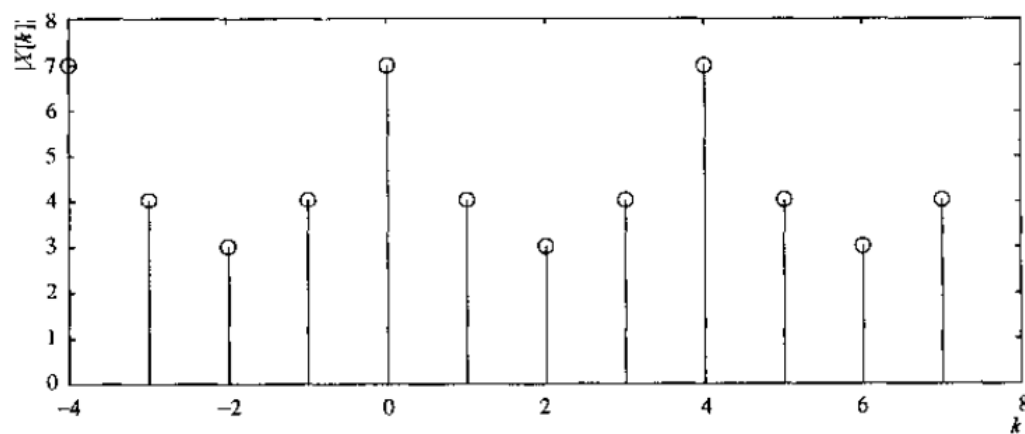
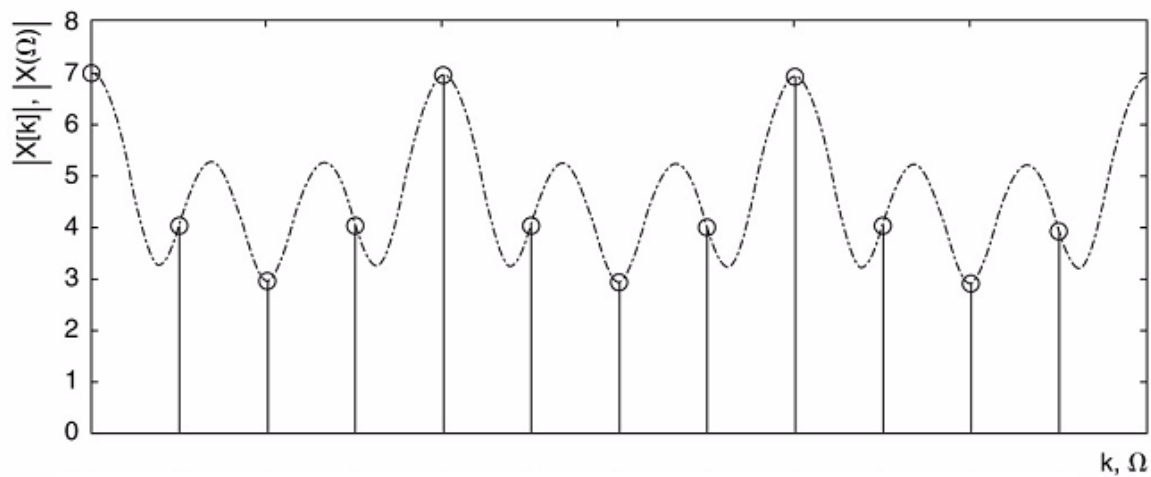
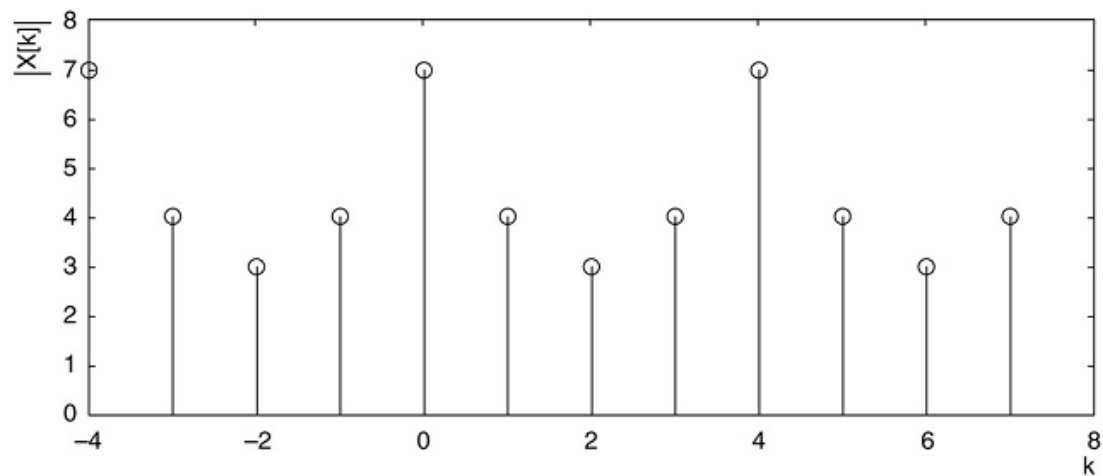
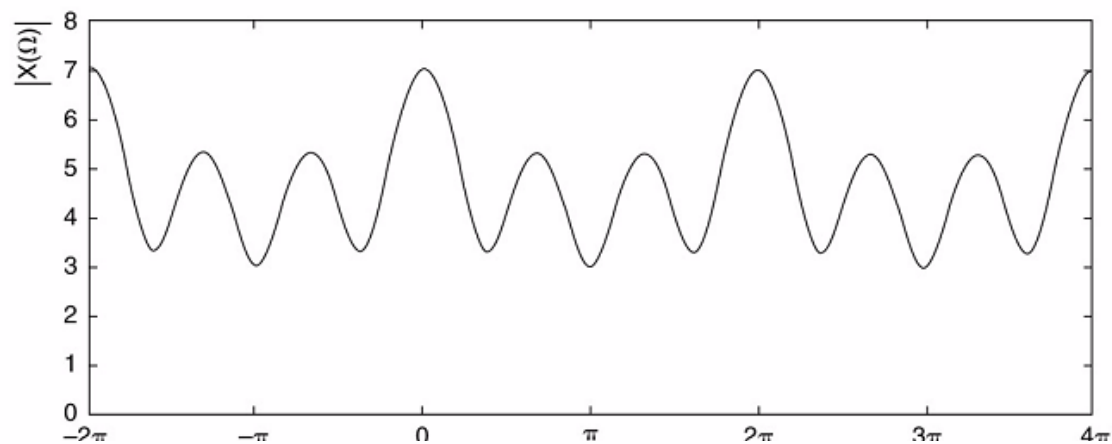


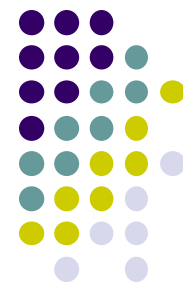
图 11.7 例 11.2 的 DFT 幅度频谱

$$k = -4 \rightarrow 8$$

DTFT与DFT



11.2 DFT窗效应 (只研究窗内点)



$$X(k) = \sum_{n=0}^{N-1} x[n]w[n]e^{-j2\pi\frac{k}{N}n}$$

K=0, 1, 2....., N-1

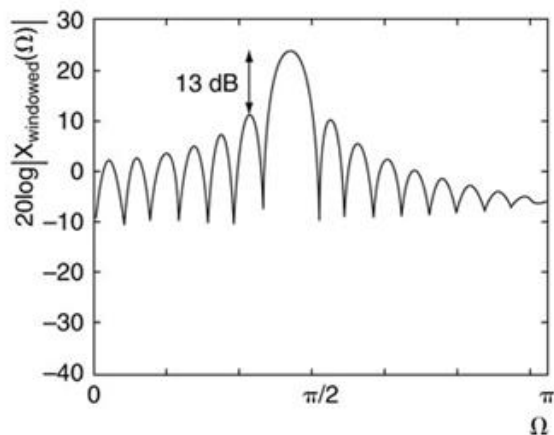
N为采样点数

$w[n]$: DFT窗，在时域内选择有限的采样值

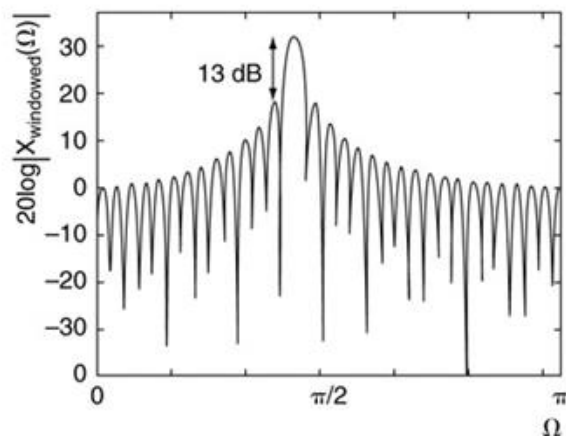
通常选择矩型窗：

窗对所有窗内采样值的权值为1，对所有窗外采样值的权值为0, DFT内的窗内采样点数为N。

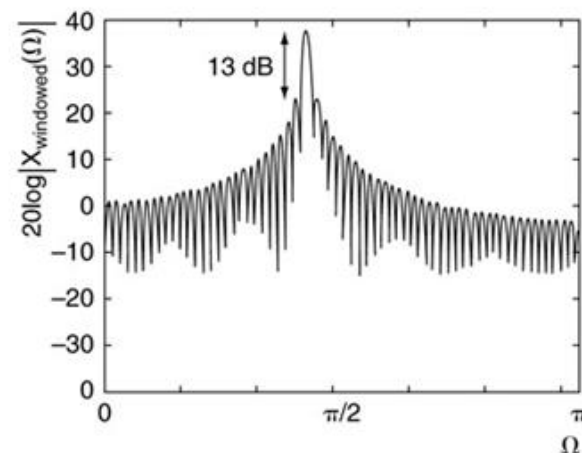
不同长度矩形窗频谱效应



(c) 32 samples



(b) 64 samples



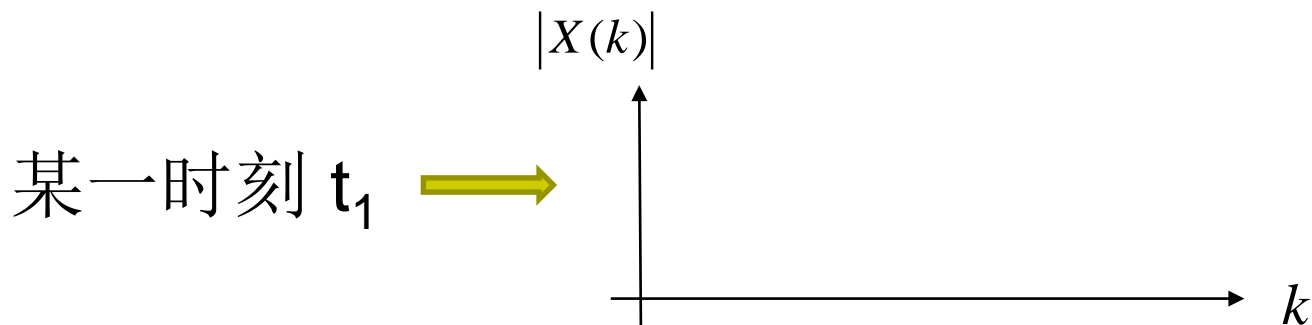
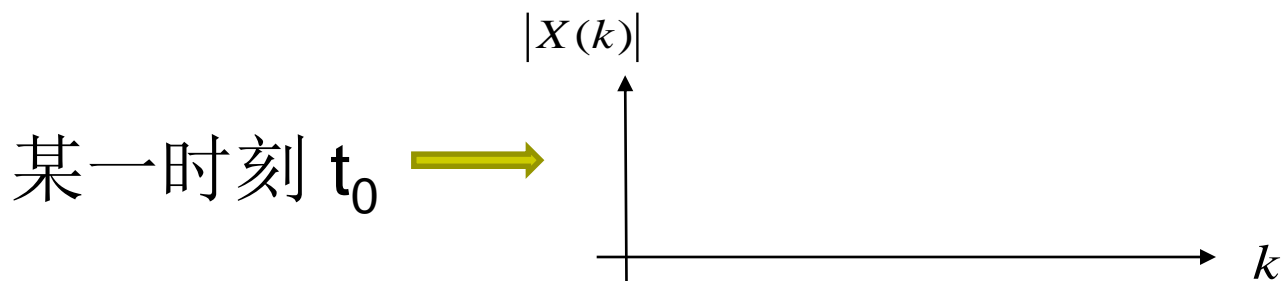
(a) 128 samples

窗口长度一定时, 窗内的采样点数N越多,可捕获的信息越详细。

11.3 频谱图



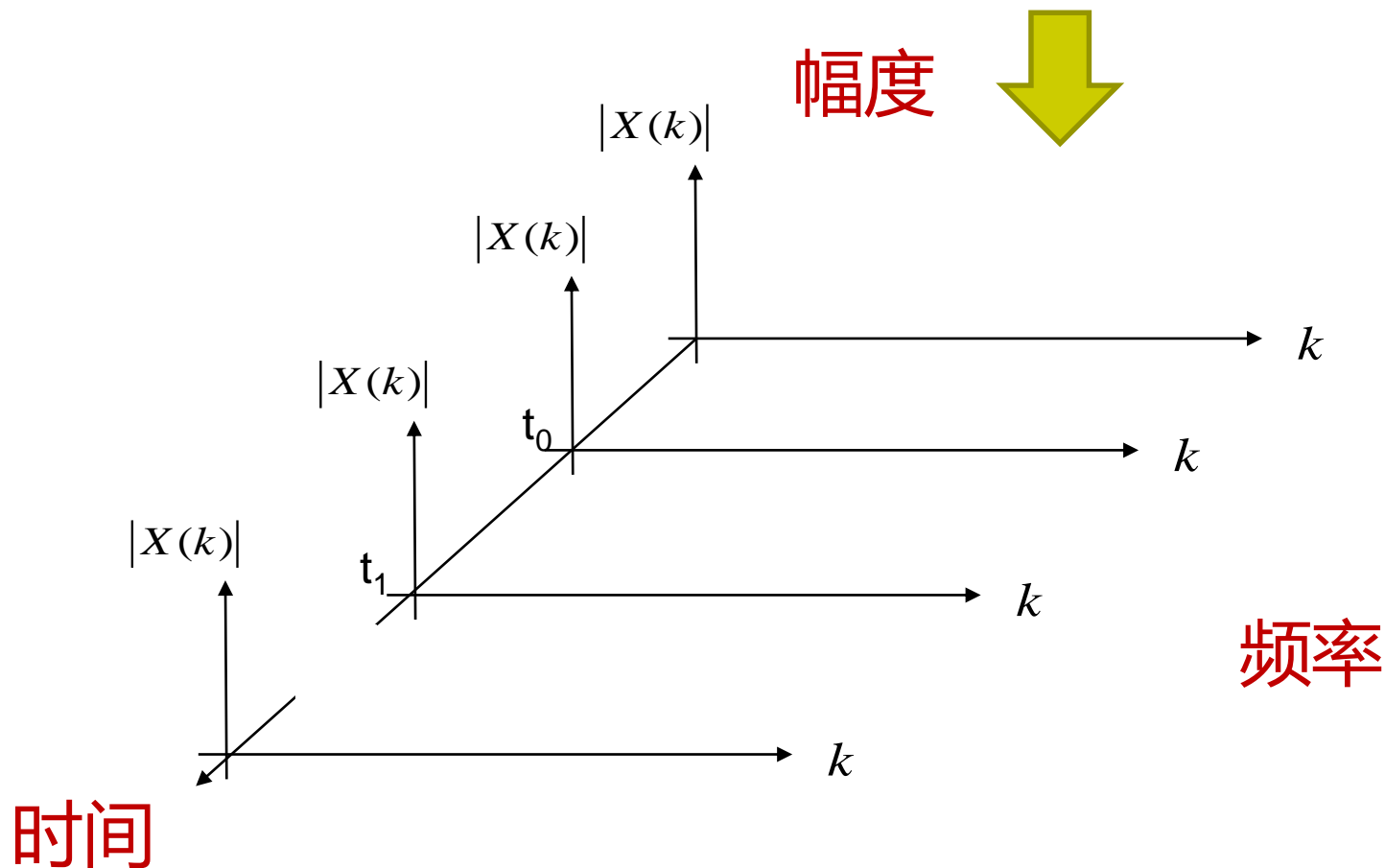
- 能否在一张图上同时显示信号-时间、信号-频率？
- 频谱图：它是频率对时间的图形，是DFT的集和。。



10.3 频谱图

$$X(k) = \sum_{n=0}^{N-1} x[n]w[n]e^{-j2\pi\frac{k}{N}n}$$

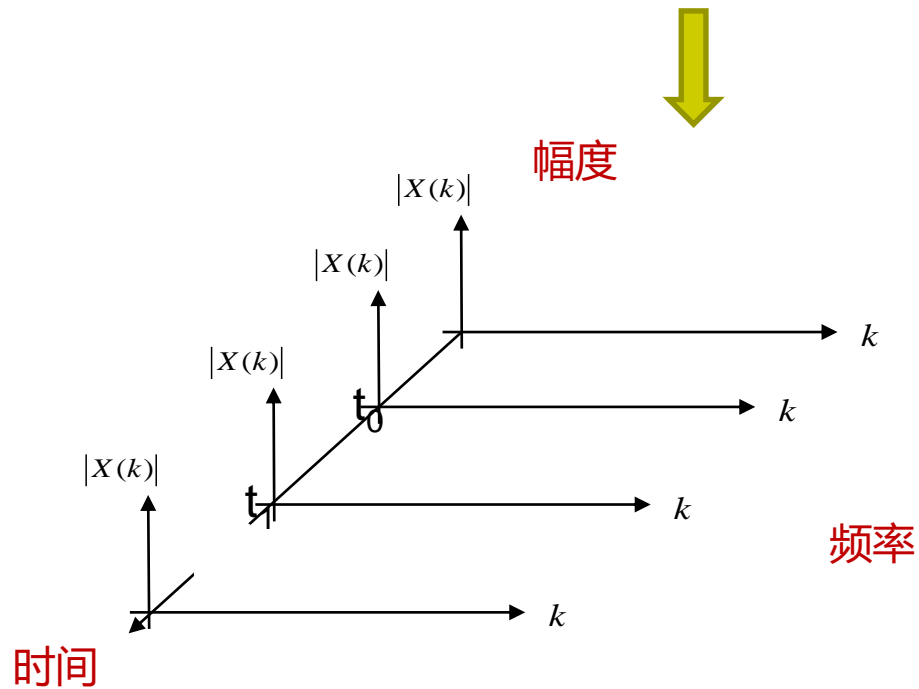
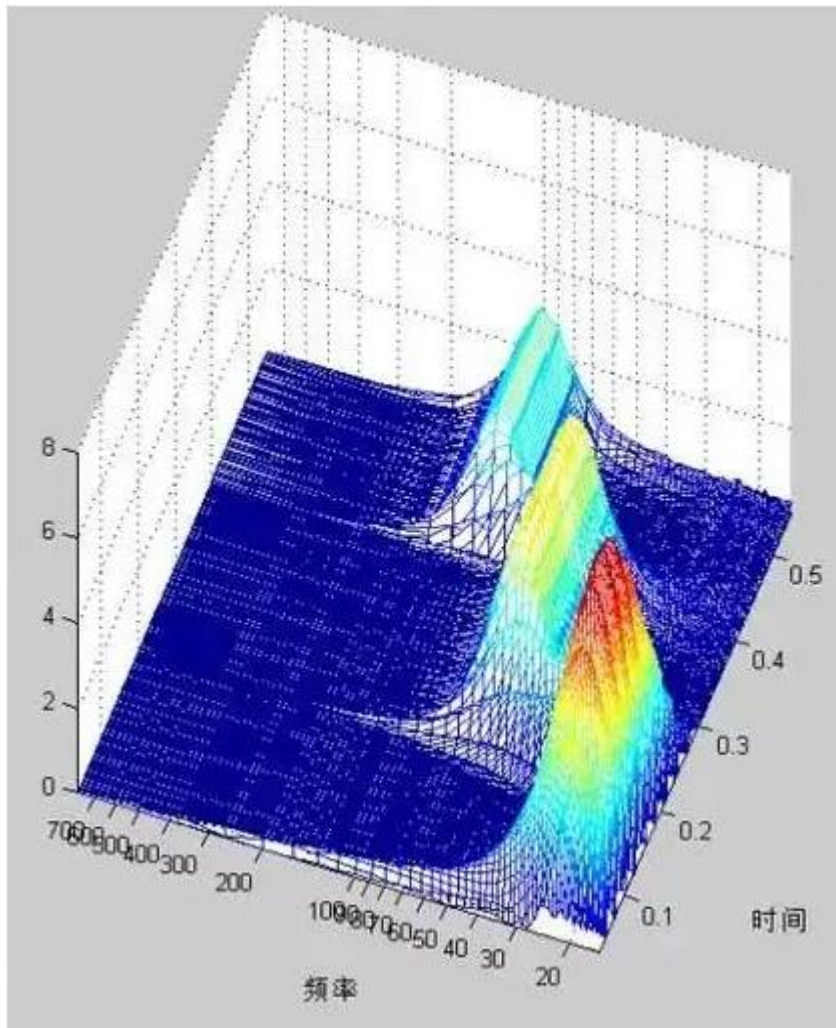
$K=0, 1, 2, \dots, N-1$



11.3 频谱图

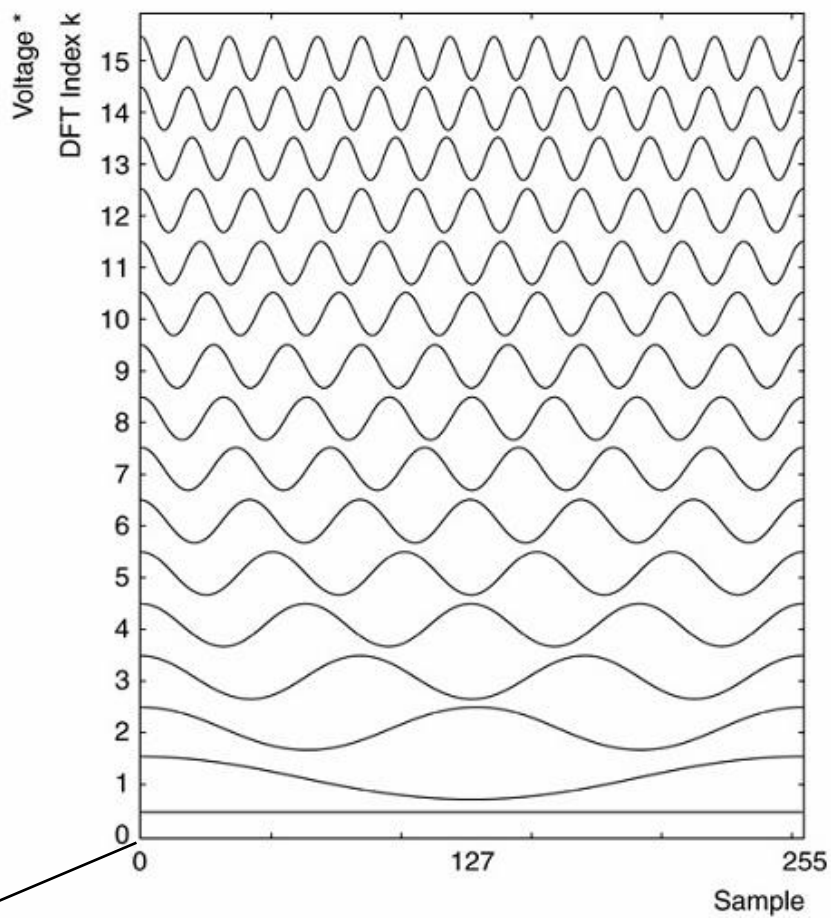
$$X(k) = \sum_{n=0}^{N-1} x[n]w[n]e^{-j2\pi\frac{k}{N}n}$$

$K=0, 1, 2, \dots, N-1$

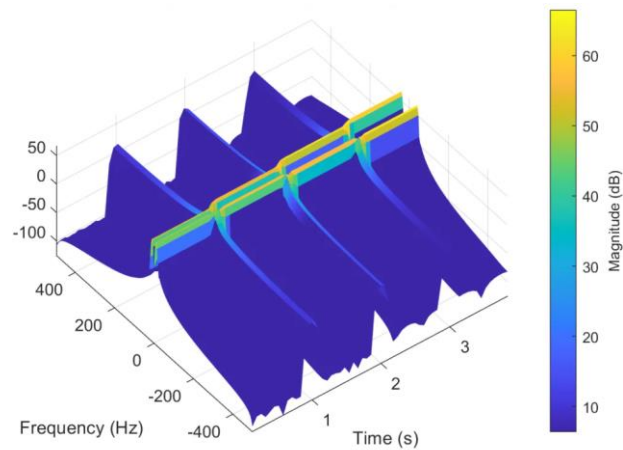


11.3 频谱图

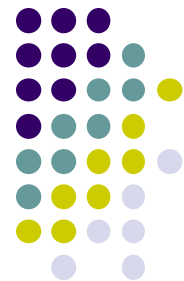
频率



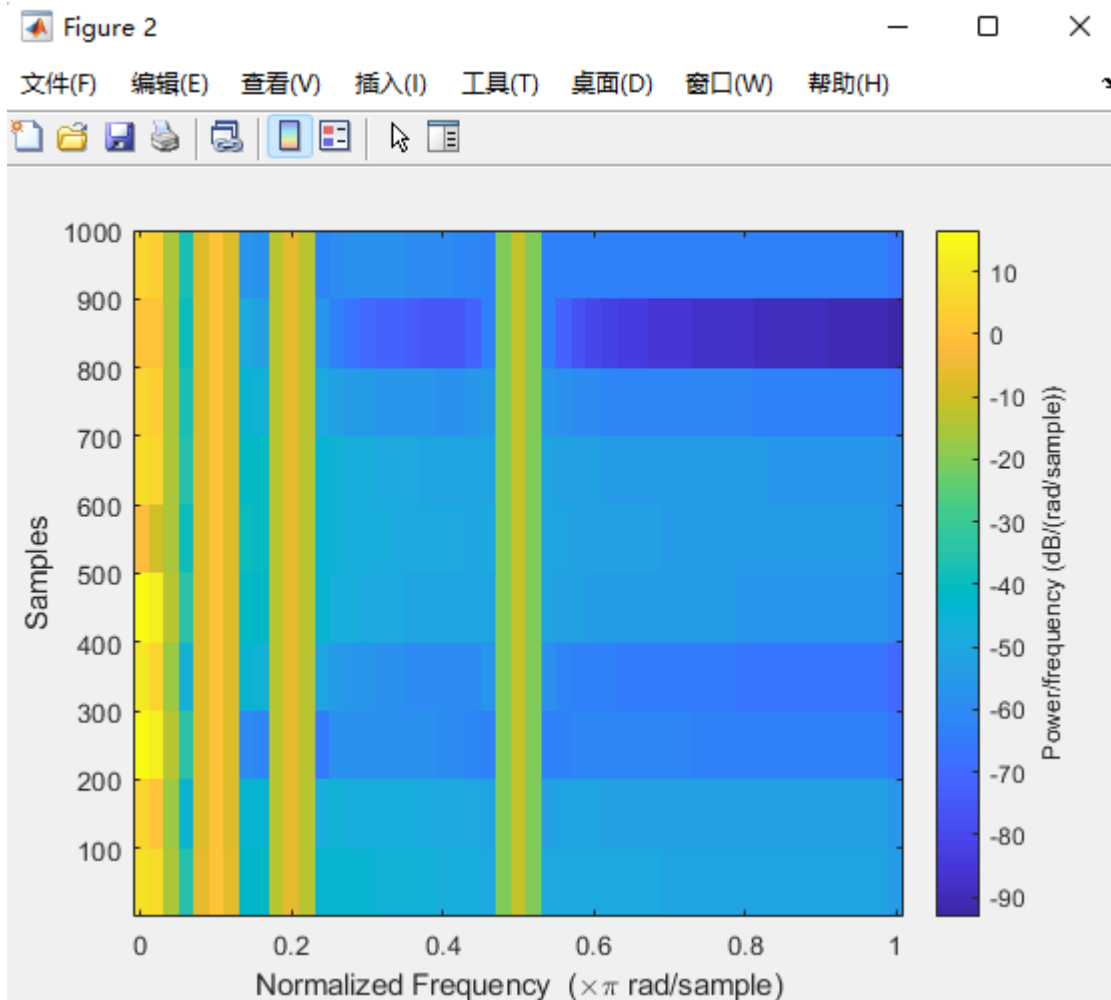
幅度



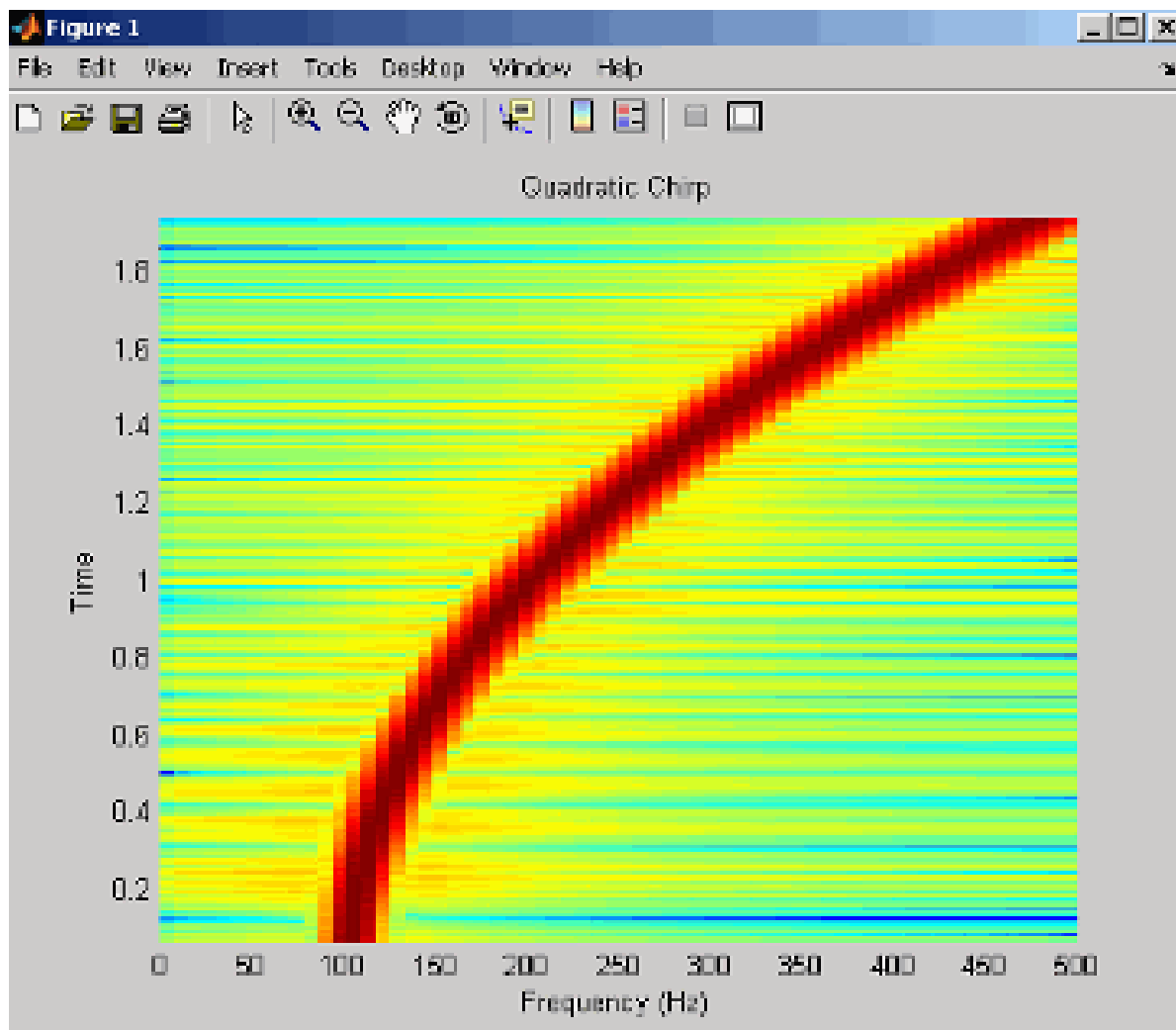
时间



频谱图



频谱图



频谱图

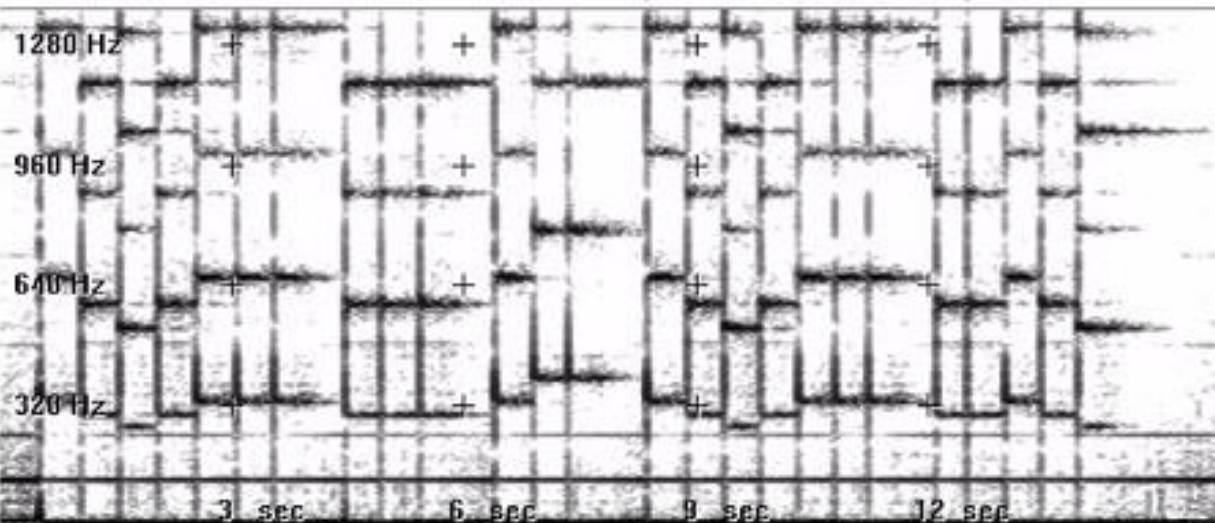


Signal

Frequency



Spectrogram

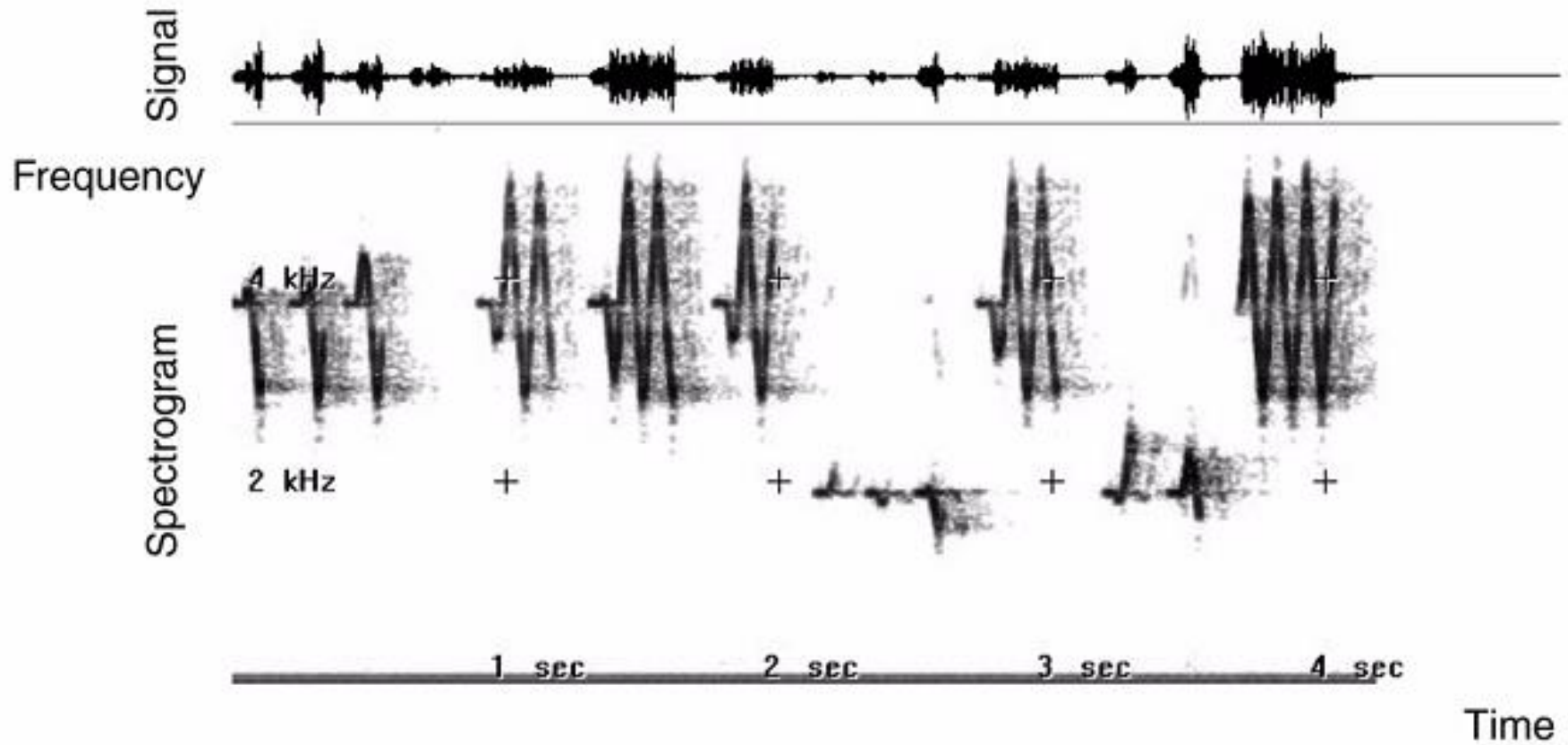


Time

频率

幅度

频谱图



(d) Spectrogram of Bird Song

Matlab



spectrogram(s,w,o,n);

s: 信号,

w: 时间窗大小（包含的点数），

o: 时间窗重合大小，（重合的点数），

n: 频率点数（点数越多频率分辨率越高）

x=1:1000;

y=sin(x/1000*pi)+0.8*sin(x/500*pi)+0.6*sin(x/100*pi)+0.4*sin(x/100*pi)+0.2*sin(x/5*pi)+0.1*sin(x/2*pi);

figure;

plot(y);%画出信号时域图

figure;

spectrogram(y,100,0,100);%画出信号频谱图

Matlab



spectrogram(s,w,o,N);

s: 信号,

w: 时间窗大小（包含的点数），

o: 时间窗重合大小，（重合的点数），

N: 频率点数（点数越多频率分辨率越高）

n=1:1000;

Y=sin(n/1000*pi)+0.8*sin(n/500*pi)+0.6*sin(n/100*pi)+0.4*sin(n/10*pi)+0.2*sin(n/5*pi)+0.1*sin(n/2*pi);

figure;

subplot(211),plot(y);%画出信号时域图

subplot(212),spectrogram(y,100,0,100)%画出信号频谱图

Python



```
import numpy as np
import matplotlib.pyplot as plt
from mpl_toolkits.mplot3d import Axes3D
```

```
# 创建一些数据
```

```
x = np.linspace(-5, 5, 100)
y = np.linspace(-5, 5, 100)
x, y = np.meshgrid(x, y)
z = np.sin(np.sqrt(x**2 + y**2))
```

```
# 创建一个新的图像
```

```
fig = plt.figure()
ax = fig.add_subplot(111, projection='3d')
```

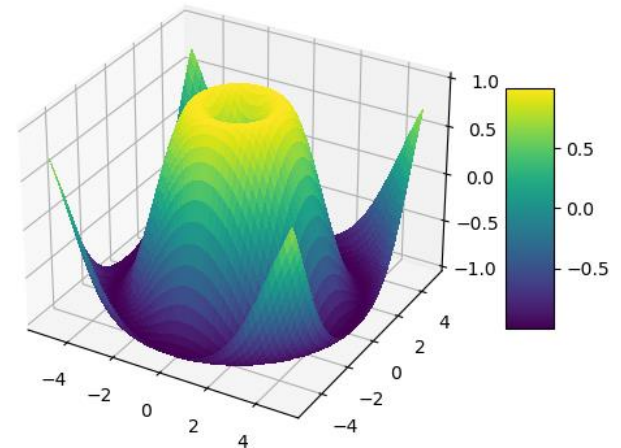
```
# 绘制三维曲面
```

```
surf = ax.plot_surface(x, y, z, cmap='viridis',
linewidth=0, antialiased=False)
```

```
# 为图像添加一个色条
```

```
ax.set_zlim(-1.01, 1.01)
fig.colorbar(surf, shrink=0.5, aspect=5)
```

```
plt.show()
```





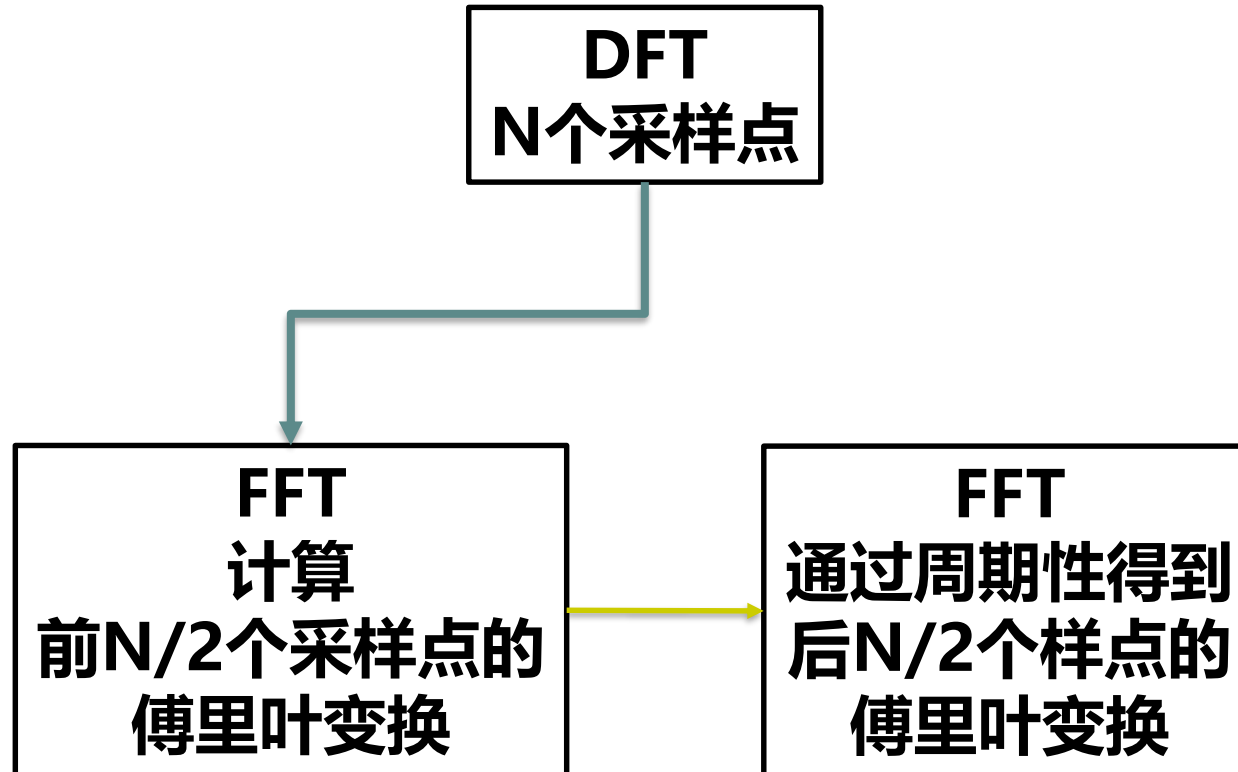
11.4 快速傅里叶变换 (FFT)

FFT (fast Fourier transform) 快速傅里叶变换

FFT与DFT的输出一样，但运算量要小得多

基本原理：

- 将一个 N 点的计算分解为两个 $N/2$ 点的计算，每个 $N/2$ 点的计算再进一步分解为 $N/4$ 点的计算，以此类推.....。





- 根据采样编号 n ，分为偶数采样点和奇数采样点。

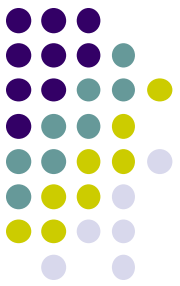
- 令： $y[n]=x[2n]$, $z[n]=x[2n+1]$

对于前一半计算（前一个 $N/2$ 个采样点）：

$$X(k) = \sum_{n=0}^{(N/2)-1} x[2n]e^{-j2\pi\frac{k}{N}(2n)} + \sum_{n=0}^{(N/2)-1} x[2n+1]e^{-j2\pi\frac{k}{N}(2n+1)}$$

$$X(k) = \sum_{n=0}^{(N/2)-1} y[n]e^{-j\frac{4\pi kn}{N}} + \sum_{n=0}^{(N/2)-1} z[n]e^{-j\frac{2\pi k(2n+1)}{N}}$$

$$X(k) = \sum_{n=0}^{(N/2)-1} y[n]e^{-j\frac{4\pi kn}{N}} + \sum_{n=0}^{(N/2)-1} z[n]e^{-j\frac{2\pi k(2n+1)}{N}}$$



$$X(k) = \sum_{n=0}^{(N/2)-1} y[n]e^{-j\frac{2\pi kn}{(N/2)}} + \sum_{n=0}^{(N/2)-1} z[n]e^{-j\frac{2\pi kn}{(N/2)}} * e^{-j\frac{2\pi k}{N}}$$

令： $y[n]$ 的傅里叶变换为 $Y(k)$ ， $z[n]$ 的傅里叶变换为 $Z(k)$

$$X(k) = Y(k) + e^{-j\frac{2\pi k}{N}} Z(k)$$

注意：这里的采样点数是 $N/2$

所以是以 $N/2$ 为周期的



注意：这里的采样点数是 $N/2$

因为前一半计算（前一个 $N/2$ 个采样点）

$$X(k) = Y(k) + e^{-j\frac{2\pi k}{N}} Z(k)$$

那么后一半计算（后一个 $N/2$ 个采样点）就有

$$X(k + N/2) = Y(k + N/2) + e^{-j\frac{2\pi(k+N/2)}{N}} Z(k + N/2)$$

因为是以 $N/2$ 为周期的，所以有

$$Y(k + N/2) = Y(k), \quad Z(k + N/2) = Z(k)$$

$$e^{-j\frac{2\pi(k+N/2)}{N}} = e^{-j\frac{2\pi k}{N}} * e^{-j\pi} = -e^{-j\frac{2\pi k}{N}}$$



所以后半计算（后一个N/2个采样点）就有

$$X(k + N/2) = Y(k) - e^{-j\frac{2\pi k}{N}} Z(k)$$

而前半计算（前一个N/2个采样点）

$$X(k) = Y(k) + e^{-j\frac{2\pi k}{N}} Z(k)$$

比较上面两个式子：

- 将一个N点的计算分解为两个N/2点的计算，只需一次计算出 $Y(k)$ 和 $Z(k)$ ，然后通过不同的组合得到N个点的傅里叶变换，简化了运算。

例：求下面函数的离散傅里叶变换
 $x = \sin(10\pi t) + \sin(8\pi t)$



```
t = 0:0.01:10;  
x=sin(10*pi*t) + sin(8*pi*t);  
y = fft(x);                % 计算DFT  
m = abs(y); % 幅度  
p = unwrap(angle(y)); %相角  
plot(m);  
figure  
plot(p)
```

练习：对自己存在电脑中的信号做 fft



```
[x,fs]= audioread ('test.wma'); % 写出文件路径
y=x(:,1); % 单声道?
N=10000; % 取确定的样点数N
Y = fft(y);
% Plot single-sided amplitude spectrum.
figure
subplot(211),plot(y);
subplot(212),plot(abs(Y(1:N/2))) % 只画的0-N/2的绝对值
```